



# *Méthode AGM pour les courbes de genre 3 non hyperelliptiques*

Christophe Ritzenthaler

IEM, Essen (Allemagne)

GTEM

# *Plan de l'exposé*

---

- Motivations cryptographiques.

# *Plan de l'exposé*

---

- Motivations cryptographiques.
- Définition des méthodes de la **Moyenne Arithmético-Géométrique**, dites A.G.M. dans le cadre 2-adique (Mestre).

# Plan de l'exposé

---

- Motivations cryptographiques.
- Définition des méthodes de la **Moyenne Arithmético-Géométrique**, dites A.G.M. dans le cadre 2-adique (Mestre).
- Rappels sur le genre 1.

# Plan de l'exposé

---

- Motivations cryptographiques.
- Définition des méthodes de la **Moyenne Arithmético-Géométrique**, dites A.G.M. dans le cadre 2-adique (Mestre).
- Rappels sur le genre 1.
- Généralisation de la méthode : duplication, produit des  $\pi_i$ .

# Plan de l'exposé

---

- Motivations cryptographiques.
- Définition des méthodes de la **Moyenne Arithmético-Géométrique**, dites A.G.M. dans le cadre 2-adique (Mestre).
- Rappels sur le genre 1.
- Généralisation de la méthode : duplication, produit des  $\pi_i$ .
- Cas du genre 3 :

# Plan de l'exposé

---

- Motivations cryptographiques.
- Définition des méthodes de la **Moyenne Arithmético-Géométrique**, dites A.G.M. dans le cadre 2-adique (Mestre).
- Rappels sur le genre 1.
- Généralisation de la méthode : duplication, produit des  $\pi_i$ .
- Cas du genre 3 :
  1. calcul des **thêta constantes**.

# Plan de l'exposé

---

- Motivations cryptographiques.
- Définition des méthodes de la **Moyenne Arithmético-Géométrique**, dites A.G.M. dans le cadre 2-adique (Mestre).
- Rappels sur le genre 1.
- Généralisation de la méthode : duplication, produit des  $\pi_i$ .
- Cas du genre 3 :
  1. calcul des **thêta constantes**.
  2. bon relèvement du modèle.



# Plan de l'exposé

---

- Motivations cryptographiques.
- Définition des méthodes de la **Moyenne Arithmético-Géométrique**, dites A.G.M. dans le cadre 2-adique (Mestre).
- Rappels sur le genre 1.
- Généralisation de la méthode : duplication, produit des  $\pi_i$ .
- Cas du genre 3 :
  1. calcul des **thêta constantes**.
  2. bon relèvement du modèle.
  3. Exemple et utilisation de LLL.

# Diffie-Hellman

---

$G$  un groupe ( $\simeq \mathbb{Z}/p\mathbb{Z}$ ) et  $g \in G$  un générateur (publics).

Protocole :

1. Alice choisit  $a \in \mathbb{Z}$  et envoie  $g^a$  à Bob.
2. Bob choisit  $b \in \mathbb{Z}$  et envoie  $g^b$  à Alice.
3. Clé commune **secrète** :  $g^{ab} = (g^a)^b = (g^b)^a$ .

Le secret de  $g^{ab}$  est basé sur la difficulté à calculer  $a = \log_g g^a$ .

# Pourquoi des jacobiennes de courbes ?

- Nombre maximal d'opérations réalisables :  $2^{50} - 2^{60}$ .
- Sûr basé sur le DL pour un groupe quelconque :  $> 160$  bits.
  1. Pour  $\mathbb{F}_q^*$  :  $L_q(1/3) \Rightarrow 1024$  bits (comme la factorisation).
  2. Pour le groupe des classes : sous-exponentiel.
  3. Pour les jacobiennes de courbes : pas de meilleure attaque en général (**genre**  $< 4$ ).

↪ Trouver rapidement une bonne courbe (i.e.  $|\text{Jac}(C)(k)|$  presque premier) : théorie CM ou en tester beaucoup !

# *Comment fonctionnent les méthodes AGM ?*

---

1. Entrée : courbe  $C$  de genre  $g$  **ordinaire** sur  $\mathbb{F}_{2^N}$ .

# *Comment fonctionnent les méthodes AGM?*

---

1. Entrée : courbe  $C$  de genre  $g$  **ordinaire** sur  $\mathbb{F}_{2^N}$ .
2. Relèvement sur l'extension 2-adique de degré  $N$  non ramifiée (Satoh).

# Comment fonctionnent les méthodes AGM ?

---

1. Entrée : courbe  $C$  de genre  $g$  **ordinaire** sur  $\mathbb{F}_{2^N}$ .
2. Relèvement sur l'extension 2-adique de degré  $N$  non ramifiée (Satoh).
3. Calcul de  $2^g$  «**thêta constantes**» initiales :  $(\vartheta_i^{(0)})_{i=1, \dots, 2^g}$ .

# Comment fonctionnent les méthodes AGM ?

---

1. Entrée : courbe  $C$  de genre  $g$  **ordinaire** sur  $\mathbb{F}_{2^N}$ .
2. Relèvement sur l'extension 2-adique de degré  $N$  non ramifiée (Satoh).
3. Calcul de  $2^g$  «**thêta constantes**» initiales :  $(\vartheta_i^{(0)})_{i=1, \dots, 2^g}$ .
4. Duplication de ces constantes :  $(\vartheta_i^{(n)}) \rightsquigarrow$  isogénies de degré 2.

# Comment fonctionnent les méthodes AGM ?

1. Entrée : courbe  $C$  de genre  $g$  **ordinaire** sur  $\mathbb{F}_{2^N}$ .
2. Relèvement sur l'extension 2-adique de degré  $N$  non ramifiée (Satoh).
3. Calcul de  $2^g$  «**thêta constantes**» initiales :  $(\vartheta_i^{(0)})_{i=1, \dots, 2^g}$ .
4. Duplication de ces constantes :  $(\vartheta_i^{(n)}) \rightsquigarrow$  isogénies de degré 2.
5.  $\left( \vartheta_i^{(Nn)} / \vartheta_i^{(N(n+1))} \right)$  **converge** vers  $\alpha = \pm \pi_1 \dots \pi_g$ .



# Comment fonctionnent les méthodes AGM ?

1. Entrée : courbe  $C$  de genre  $g$  **ordinaire** sur  $\mathbb{F}_{2^N}$ .
2. Relèvement sur l'extension 2-adique de degré  $N$  non ramifiée (Satoh).
3. Calcul de  $2^g$  «**thêta constantes**» initiales :  $(\vartheta_i^{(0)})_{i=1, \dots, 2^g}$ .
4. Duplication de ces constantes :  $(\vartheta_i^{(n)}) \rightsquigarrow$  isogénies de degré 2.
5.  $\left( \vartheta_i^{(Nn)} / \vartheta_i^{(N(n+1))} \right)$  **converge** vers  $\alpha = \pm \pi_1 \dots \pi_g$ .
6. Calcul du polynôme minimal  $P_{\text{sym}}$  de  $\alpha + 2^{gN} / \alpha$ .

# Comment fonctionnent les méthodes AGM ?

1. Entrée : courbe  $C$  de genre  $g$  **ordinaire** sur  $\mathbb{F}_{2^N}$ .
2. Relèvement sur l'extension 2-adique de degré  $N$  non ramifiée (Satoh).
3. Calcul de  $2^g$  «**thêta constantes**» initiales :  $(\vartheta_i^{(0)})_{i=1, \dots, 2^g}$ .
4. Duplication de ces constantes :  $(\vartheta_i^{(n)}) \rightsquigarrow$  isogénies de degré 2.
5.  $\left( \vartheta_i^{(Nn)} / \vartheta_i^{(N(n+1))} \right)$  **converge** vers  $\alpha = \pm \pi_1 \dots \pi_g$ .
6. Calcul du polynôme minimal  $P_{\text{sym}}$  de  $\alpha + 2^{gN} / \alpha$ .
7. Sortie : le **polynôme caractéristique du Frobenius**  $\chi_C$ .

# Rappel rapide du genre 1

Problème initial :  $\tilde{E} : y^2 + xy = x^3 + a_2 x^2 + a_4 x$  sur  $\mathbb{F}_{2^N}$ .

Relèvement canonique :

$$\tilde{E}^\uparrow : y^2 = x(x - (\vartheta_1^{(0)})^2)(x - (\vartheta_2^{(0)})^2).$$

Duplication :  $(\vartheta_1^{(i+1)}, \vartheta_2^{(i+1)}) = \left( \frac{\vartheta_1^{(i)} + \vartheta_2^{(i)}}{2}, \vartheta_1^{(i)} \sqrt{\frac{\vartheta_2^{(i)}}{\vartheta_1^{(i)}}} \right).$

$$\begin{array}{ccccccc}
 \mathcal{E}_N & \longrightarrow & \dots & \longrightarrow & \mathcal{E}_1 & \xrightarrow{\text{Ve}^\uparrow} & \mathcal{E}_0 = \tilde{E}^\uparrow \\
 \downarrow & & & & \downarrow & & \downarrow \\
 \tilde{E}^{(N)} & \longrightarrow & \dots & \longrightarrow & \tilde{E}^{(1)} & \xrightarrow{\text{Ve}} & \tilde{E} \\
 \downarrow \simeq & & & & & & \downarrow = \\
 \tilde{E} & \xleftarrow{\phi = \text{Fr}^N} & & & & & \tilde{E}
 \end{array}$$

# Fin du rappel

$$\begin{array}{ccc} \mathcal{E}_N & \xrightarrow{(Ve^\uparrow)^N} & \mathcal{E}_0 \\ & \searrow V^\uparrow & \downarrow \mu^{-1} \\ & & \mathcal{E}_N \end{array}$$

avec  $\mu(x_N, y_N) = (u^2 x_N, u^3 y_N)$  et  $u^2 = \frac{(\vartheta_1^{(0)})^2 + (\vartheta_2^{(0)})^2}{(\vartheta_1^{(N)})^2 + (\vartheta_2^{(N)})^2}$ .

$$V^{\uparrow*}(\omega_N) = (\mu^{-1} \circ ((Ve^\uparrow)^N)^*(\omega_N) = ((Ve^\uparrow)^N)^*(u\omega) = u\omega_N.$$

$$\mathrm{Tr}(V^\uparrow) = \mathrm{Tr}(\phi^\uparrow) = \mathrm{Tr}(\phi) = u + \frac{2^N}{u}.$$

**Duplication** : convergence vers le relèvement canonique.

# Une implémentation simple

*Entrée* :  $a_6 \in \mathbb{F}_{2^N}^*$ .

*Sortie* :  $\pm$  la trace pour  $y^2 + xy = x^3 + a_6$ .

1.  $\lambda := 1 + 8a_6 \pmod{16}$  ;
2. Pour  $k$  égal à 4 à  $\lceil N/2 \rceil + 3$  :
3. relève arbitrairement  $\lambda \pmod{2^{k+2}}$ .
4.  $\lambda := \frac{1+\lambda}{2\sqrt{\lambda}} \pmod{2^{k+1}}$  ; // ou action du Frobenius  
(MSST)
5. Renvoie  $\text{Norm} \left( \frac{2}{1+\lambda} \right) \pmod{2^{\lceil N/2 \rceil + 2}}$ .

# MSST ?

$\lambda := \frac{1+\lambda}{2\sqrt{\lambda}} \rightsquigarrow E(X, Y) = 4Y^2X - (1 + X)^2$  (équation modulaire).

$$X \leftarrow 1 + 8X \text{ et } Y \leftarrow 1 + 8Y$$

$$\tilde{E} = (X + 2Y + 8XY)^2 + Y + 4XY = 0 \text{ (Kohel : } X_0(8))$$

$$\begin{aligned} 0 &= \tilde{E}(\lambda, \sigma\lambda) = \tilde{E}(\Lambda + 2^k e, \sigma\Lambda + 2^k \sigma e) \\ &= \tilde{E}(\Lambda, \sigma\Lambda) + 2^k e \partial_X \tilde{E}(\Lambda, \sigma\Lambda) + 2^k \sigma e \partial_Y \tilde{E}(\Lambda, \sigma\Lambda) \\ &\quad + 2^{2k-1}(\text{reste}) \end{aligned}$$

# *Les problèmes d'une généralisation*

---

- Généraliser la formule de duplication.

# *Les problèmes d'une généralisation*

---

- Généraliser la formule de duplication.  
↔ fonctions thêta.



# *Les problèmes d'une généralisation*

---

- Généraliser la formule de duplication.  
↔ fonctions thêta.
- Généraliser la formule reliant les thêta et le  $\prod \pi_i$ .

# *Les problèmes d'une généralisation*

---

- Généraliser la formule de duplication.  
↔ fonctions thêta.
- Généraliser la formule reliant les thêta et le  $\prod \pi_i$ .  
↔ géométrie arithmétique.

# *Les problèmes d'une généralisation*

---

- Généraliser la formule de duplication.  
↔ fonctions thêta.
- Généraliser la formule reliant les thêta et le  $\prod \pi_i$ .  
↔ géométrie arithmétique.
- Exprimer les thêta constantes algébriquement.

# *Les problèmes d'une généralisation*

---

- Généraliser la formule de duplication.  
↔ fonctions thêta.
- Généraliser la formule reliant les thêta et le  $\prod \pi_i$ .  
↔ géométrie arithmétique.
- Exprimer les thêta constantes algébriquement.  
↔ géométrie, invariants.

# Les problèmes d'une généralisation

---

- Généraliser la formule de duplication.  
↔ fonctions thêta.
- Généraliser la formule reliant les thêta et le  $\prod \pi_i$ .  
↔ géométrie arithmétique.
- Exprimer les thêta constantes algébriquement.  
↔ géométrie, invariants.
- Bon modèle de calcul : la duplication s'effectue dans une extension non ramifiée fixe.

# Les problèmes d'une généralisation

---

- Généraliser la formule de duplication.  
↪ fonctions thêta.
- Généraliser la formule reliant les thêta et le  $\prod \pi_i$ .  
↪ géométrie arithmétique.
- Exprimer les thêta constantes algébriquement.  
↪ géométrie, invariants.
- Bon modèle de calcul : la duplication s'effectue dans une extension non ramifiée fixe.  
↪ arithmétique.

# Les problèmes d'une généralisation

---

- Généraliser la formule de duplication.  
↪ fonctions thêta.
- Généraliser la formule reliant les thêta et le  $\prod \pi_i$ .  
↪ géométrie arithmétique.
- Exprimer les thêta constantes algébriquement.  
↪ géométrie, invariants.
- Bon modèle de calcul : la duplication s'effectue dans une extension non ramifiée fixe.  
↪ arithmétique.
- Calcul des polyômes minimaux et caractéristiques.

# Les problèmes d'une généralisation

---

- Généraliser la formule de duplication.  
↪ fonctions thêta.
- Généraliser la formule reliant les thêta et le  $\prod \pi_i$ .  
↪ géométrie arithmétique.
- Exprimer les thêta constantes algébriquement.  
↪ géométrie, invariants.
- Bon modèle de calcul : la duplication s'effectue dans une extension non ramifiée fixe.  
↪ arithmétique.
- Calcul des polyômes minimaux et caractéristiques.  
↪ LLL, calculs sur la jacobienne.



# Généralisation de la duplication

Thêta caractéristiques ( $q = \exp(i\pi)$ ) :

$$\vartheta \begin{bmatrix} \varepsilon \\ \varepsilon' \end{bmatrix} (z, \Omega) = \sum_{n \in \mathbb{Z}^g} q^{(n+\varepsilon/2) \Omega^t (n+\varepsilon/2) + 2(n+\varepsilon/2)^t (z+\varepsilon'/2)}$$

Duplication :

$$\vartheta \begin{bmatrix} 0 \\ \varepsilon' \end{bmatrix} (0, 2\Omega)^2 = \frac{1}{2^g} \sum_{d \in (\mathbb{Z}/2\mathbb{Z})^g} \vartheta \begin{bmatrix} 0 \\ \varepsilon' + d \end{bmatrix} (0, \Omega) \cdot \vartheta \begin{bmatrix} 0 \\ d \end{bmatrix} (0, \Omega)$$

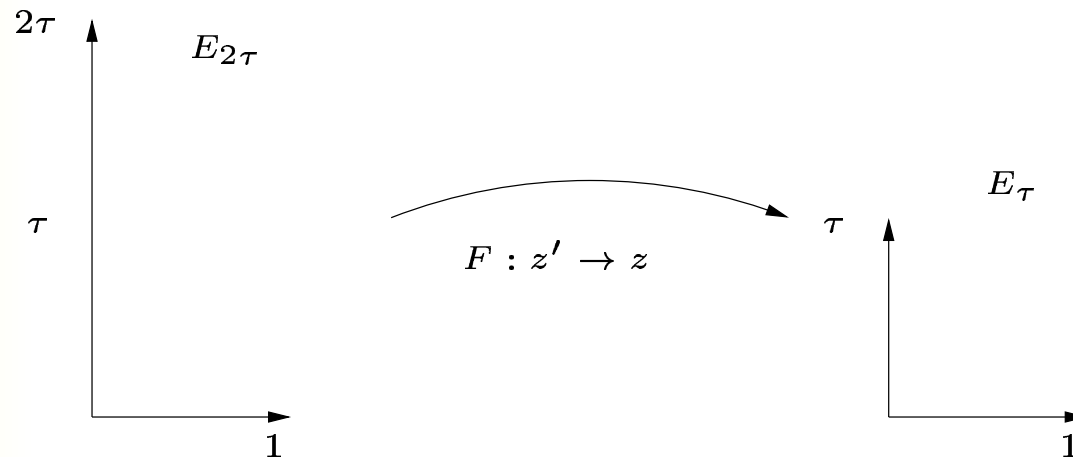
# Pourquoi cela décrit-il des 2-isogénies ?

A variété abélienne sur  $\mathbb{C} \Rightarrow A(\mathbb{C}) \simeq \mathbb{C}^g / (\mathbb{Z}^g + \mathbb{Z}^g \Omega)$ .

L'application

$$\begin{array}{ccc} \mathbb{C}^g / (\mathbb{Z}^g + \mathbb{Z}^g 2\Omega) & \rightarrow & \mathbb{C}^g / (\mathbb{Z}^g + \mathbb{Z}^g \Omega) \\ z & \mapsto & z \end{array}$$

est une **2-isogénie** de noyau  $(\mathbb{Z}^g / 2\mathbb{Z}^g)\Omega$ .



# Cas général

$A/k$  **ordinaire**, principalement polarisée sur  $k$ , simple et  $|A[2](k)| = 2^g$ .

$$\begin{array}{ccccccc}
 \mathcal{A}_N & \longrightarrow & \cdots & \longrightarrow & \mathcal{A}_1 & \xrightarrow{V_{e^\uparrow}} & \mathcal{A} = A^\uparrow \\
 \downarrow & & & & \downarrow & & \downarrow \\
 A^{(N)} & \longrightarrow & \cdots & \longrightarrow & A^{(1)} & \xrightarrow{V_e} & A \\
 \downarrow \cong & & & & & & \downarrow = \\
 A & \xleftarrow{\phi = \text{Fr}^N} & & & & & A
 \end{array}$$

$A^\uparrow$  (**relèvement canonique**) :  $\text{End}(A^\uparrow) = \text{End}(A)$  (unique à isomorphisme près)  $\Rightarrow$  **variété CM**.

# ***Théorème principal***

**Lemme** :  $\ker Ve^\uparrow$  est un  $\mathbb{F}_2$ -espace vectoriel **isotrope maximal** pour le couplage de Weil (induit par le relèvement de la polarisation principale).

En complexe :  $\mathcal{A}_{\mathbb{C}} = \mathbb{C}^g / (\mathbb{Z}^g + \mathbb{Z}^g \Omega)$  et  
 $(\mathcal{A}_N)_{\mathbb{C}} = \mathbb{C}^g / (\mathbb{Z}^g + \mathbb{Z}^g 2^N \Omega)$ .

**Théorème** : Soit  $\pi_1, \dots, \pi_g$  les racines de  $\chi_A$  qui sont des **unités 2-adiques**. Avec les notations ci-dessus, supposons qu'il existe  $[\epsilon]$  tel que  $\vartheta[\epsilon](0, \Omega) \neq 0$ . Alors  $\vartheta[\epsilon](0, 2^N \Omega)$  est non nulle et

$$\frac{\vartheta[\epsilon](0, \Omega)^2}{\vartheta[\epsilon](0, 2^N \Omega)^2} = \pm(\pi_1 \dots \pi_g).$$

# Arguments de la preuve

- **Lemme** : Soit  $[\epsilon]$  une caractéristique entière alors si  $M \in \Gamma_g(2)$  on a

$$\vartheta \begin{bmatrix} \epsilon \\ \epsilon' \end{bmatrix} (0, (A\Omega+B)(C\Omega+D)^{-1})^2 = \pm \det(C\Omega + D) \cdot \vartheta \begin{bmatrix} \epsilon \\ \epsilon' \end{bmatrix} (0, \Omega)$$

- L'action de  $M \in \Gamma_g(1) : z \mapsto (C\Omega + D)^{-1}z$ .

$$\begin{aligned} \Rightarrow M^*(dz_1 \wedge \dots \wedge dz_g) &= \det(C\Omega + D)^{-1} \cdot (dz_1 \wedge \dots \wedge dz_g) \\ &= \det(\rho_{\mathbb{C}}(V))^{-1} (dz_1 \wedge \dots \wedge dz_g) \end{aligned}$$

- Variété abélienne CM : valeurs propres de  $\rho_{\mathbb{C}}(V)$  :

$$\pi_1, \dots, \pi_g.$$

# Convergence vers le relèvement canonique

**Théorème (Carls)** : Soit  $A$  une variété abélienne ordinaire sur  $k$ ,  $\mathcal{A}/\mathcal{O}$  un schéma abélien de fibre spéciale  $A$ . On définit alors une suite

$$\mathcal{A} = \mathcal{A}_0 \rightarrow \mathcal{A}_1 \rightarrow \dots$$

où les noyaux des isogénies sont les composantes  $\mathcal{A}_i[2]^{loc}$ .  
On a alors

$$\lim_{n \rightarrow \infty} \mathcal{A}_{Nn} = \mathcal{A}^\dagger$$

i.e. pour tout  $n$ ,  $(\mathcal{A}_{Nn})/\mathcal{O}^{(Nn+1)} = (\mathcal{A}_{Nn}^\dagger)/\mathcal{O}^{(Nn+1)}$  où l'on note  $\mathcal{O}^{(i)} = \mathcal{O}/\mathcal{M}^i$ .

# Restrictions et genre 3

- En hyperelliptique : **formule de Thomae**. Pas d'analogie dans le cas général pour  $g$  quelconque.
- Croissance exponentielle avec le genre.
- retrouver  $P_{\text{sym}}$  à partir de  $\prod \pi_i$  (Lercier) :

genre	1	2	<b>3</b>	4	5	6
précision	$N/2$	$N$	<b><math>10N</math></b>	$62N$	$390N$	$2210N$

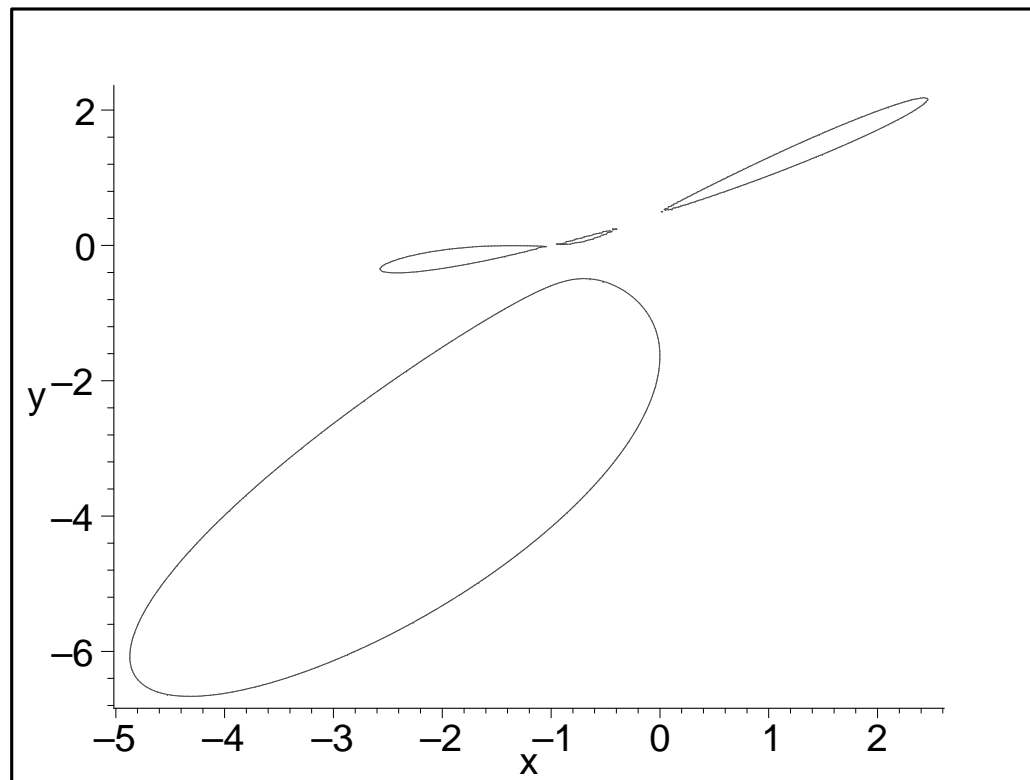
- $g > 3$  : cryptographiquement faible.

$\rightsquigarrow g = 3$  : taille crypto  $3N = 180$  bits (pas de multi-précision).

# Plongement canonique

**Proposition :**  $C$  une courbe de genre 3 non hyperelliptique  
= **quartique** plane non singulière.

↪ Etude des **bitangentes**.

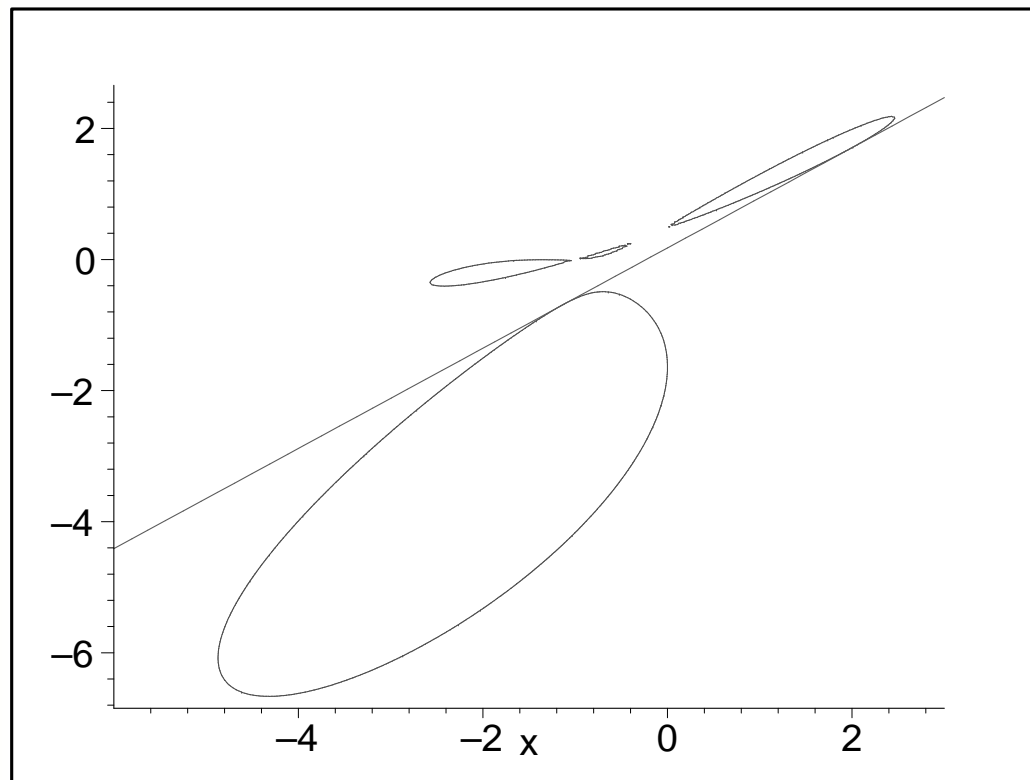




# Plongement canonique

**Proposition :**  $C$  une courbe de genre 3 non hyperelliptique  
= **quartique** plane non singulière.

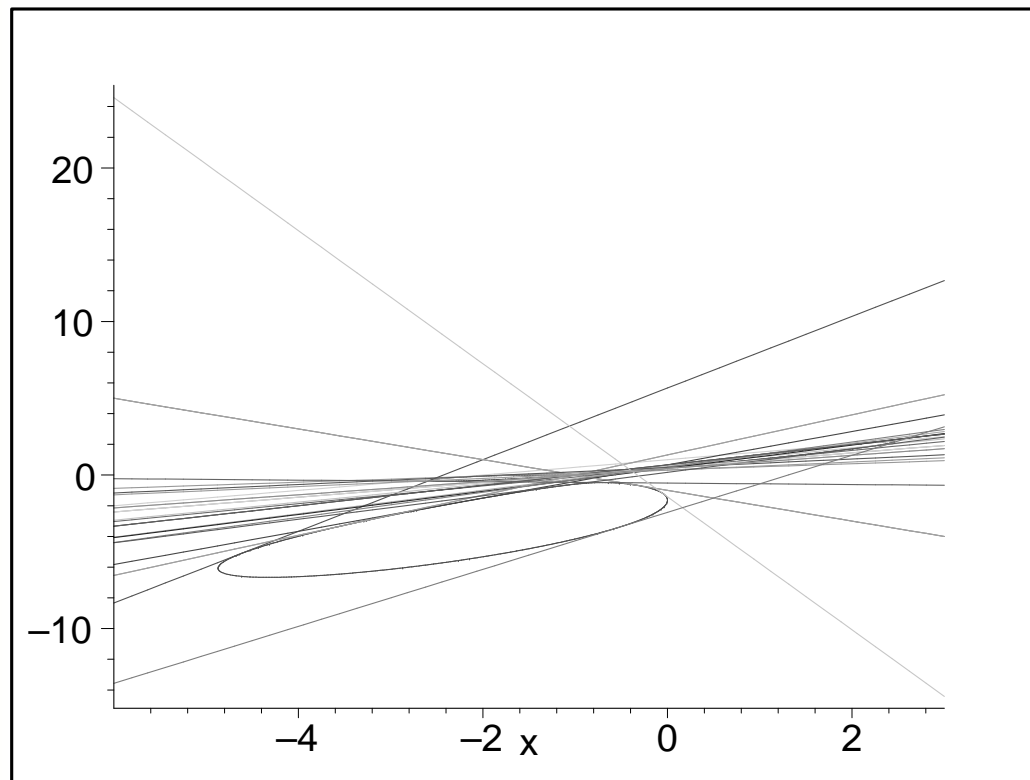
↪ Etude des **bitangentes**.



# Plongement canonique

**Proposition :**  $C$  une courbe de genre 3 non hyperelliptique  
= **quartique** plane non singulière.

↪ Etude des **bitangentes**.



# Bitangentes sur $\mathbb{C}$

---

**Proposition :** Une quartique plane non singulière possède **28** bitangentes.

**Démonstration :**

Géométrie : par la courbe duale.

Analytique : relation avec les fonctions thêta.

**Corollaire :** Il y a une **bijection explicite** entre les bitangentes et les  $[\epsilon]$  **impaires**.

# Modèle de Riemann

---

**Proposition (Riemann)** : Toute quartique lisse peut s'écrire sous la forme

$$\sqrt{x_1 u_1} + \sqrt{x_2 u_2} + \sqrt{x_3 u_3} = 0.$$

**Démonstration** : Etude des sections de  $L(D)$  avec  $2D \simeq nK$  (fonctions racines de degré  $n$ ) pour  $n = 2$ .

$\rightsquigarrow$  détermination des bitangentes, thêta constantes.

# Modèle de Riemann

---

**Proposition (Riemann)** : Toute quartique lisse peut s'écrire sous la forme

$$(x_1u_1 + x_2u_2 - x_3u_3)^2 - 4x_1u_1x_2u_2 = 0$$

**Démonstration** : Etude des sections de  $L(D)$  avec  $2D \simeq nK$  (fonctions racines de degré  $n$ ) pour  $n = 2$ .

$\rightsquigarrow$  détermination des bitangentes, thêta constantes.

# Modèle de Riemann

---

**Proposition (Riemann)** : Toute quartique lisse peut s'écrire sous la forme

$$\sqrt{x_1 u_1} + \sqrt{x_2 u_2} + \sqrt{x_3 u_3} = 0.$$

**Démonstration** : Etude des sections de  $L(D)$  avec  $2D \simeq nK$  (fonctions racines de degré  $n$ ) pour  $n = 2$ .

$\rightsquigarrow$  détermination des bitangentes, thêta constantes.

# Systeme d'Aronhold

7 bitangentes  $\beta_i$  de caracteristiques  $[i]$  telles que

●  $[\epsilon]$  impaire s'ecrit soit  $[i]$ , soit  $[i] + [j]$ .

●  $[\epsilon]$  paire s'ecrit soit  $[i] + [j] + [k]$  soit  $[0]$ .

$$\begin{aligned} [1] &= \begin{bmatrix} 1 & 0 & 1 \\ 0 & 0 & 1 \end{bmatrix} & [2] &= \begin{bmatrix} 1 & 1 & 0 \\ 0 & 1 & 1 \end{bmatrix} & [3] &= \begin{bmatrix} 1 & 1 & 1 \\ 0 & 1 & 0 \end{bmatrix} & [4] &= \begin{bmatrix} 0 & 1 & 1 \\ 1 & 0 & 1 \end{bmatrix} \\ [5] &= \begin{bmatrix} 1 & 0 & 0 \\ 1 & 0 & 0 \end{bmatrix} & [6] &= \begin{bmatrix} 0 & 0 & 1 \\ 1 & 1 & 1 \end{bmatrix} & [7] &= \begin{bmatrix} 0 & 1 & 0 \\ 1 & 1 & 0 \end{bmatrix} \end{aligned}$$

# Calcul du système d'Aronhold

- Étude de deux familles de sections de  $L(D)$  avec  $2D \simeq 2K$ .

↪ Etude théorique (corps de définition).

- **Géométriquement** :  $U_1 = (u_2 \cap u_3)^*$ ,  $U_2 = (u_3 \cap u_1)^*$  et  $U_3 = (u_1 \cap u_2)^*$ .

$(\beta_i)_{i=4\dots 7}^*$  sont les **points d'intersection des coniques**  $x_1U_1 - x_2U_2$ ,  $x_2U_2 - x_3U_3$ ,  $x_3U_3 - x_1U_1$ .



# Calcul des bitangentes

- Système d'Aronhold (obtenu à partir d'une équation de degré 4)

$$\left\{ \begin{array}{l} \beta_1 : x_1 = 0 \\ \beta_2 : x_2 = 0 \\ \beta_3 : x_3 = 0 \\ \beta_4 : x_1 + x_2 + x_3 = 0 \end{array} \right. \quad \begin{array}{l} \beta_5 = a_1 x_1 + a_2 x_2 + a_3 x_3 \\ \beta_6 = a'_1 x_1 + a'_2 x_2 + a'_3 x_3 \\ \beta_7 = a''_1 x_1 + a''_2 x_2 + a''_3 x_3 \end{array}$$

- Calcul linéaire de constantes de normalisation  $k, k', k''$ .

# Expressions des bitangentes (Riemann)

$$\beta_1 : x_1 = 0 \quad \beta_2 : x_2 = 0 \quad \beta_3 : x_3 = 0$$

$$\beta_{23} : u_1 = 0 \quad \beta_{13} : u_2 = 0 \quad \beta_{12} : u_3 = 0$$

$$\beta_4 : x_1 + x_2 + x_3 = 0 \quad \beta_5 : a_1 x_1 + a_2 x_2 + a_3 x_3 = 0$$

$$\beta_6 : a'_1 x_1 + a'_2 x_2 + a'_3 x_3 = 0 \quad \beta_7 : a''_1 x_1 + a''_2 x_2 + a''_3 x_3 = 0$$

$$\beta_{14} : u_1 + x_2 + x_3 = 0 \quad \beta_{15} : \frac{u_1}{a_1} + k a_2 x_2 + k a_3 x_3 = 0$$

$$\beta_{16} : \frac{u_1}{a'_1} + k' a'_2 x_2 + k' a'_3 x_3 = 0 \quad \beta_{17} : \frac{u_1}{a''_1} + k'' a''_2 x_2 + k'' a''_3 x_3 = 0$$

$$\beta_{24} : x_1 + u_2 + x_3 = 0 \quad \beta_{25} : k a_1 x_1 + \frac{u_2}{a_2} + k a_3 x_3 = 0$$

$$\beta_{26} : k' a'_1 x_1 + \frac{u_2}{a'_2} + k' a'_3 x_3 = 0 \quad \beta_{27} : k'' a''_1 x_1 + \frac{u_2}{a''_2} + k'' a''_3 x_3 = 0$$

# Expressions des bitangentes (suite)

$$\beta_{34} : x_1 + x_2 + u_3 = 0 \quad \beta_{35} : ka_1x_1 + ka_2x_2 + \frac{u_3}{a_3} = 0$$
$$\beta_{36} : k'a'_1x_1 + k'a'_2x_2 + \frac{u_3}{a'_3} = 0 \quad \beta_{37} : k''a''_1x_1 + k''a''_2x_2 + \frac{u_3}{a''_3} = 0$$

$$\beta_{67} : \frac{u_1}{1-ka_2a_3} + \frac{u_2}{1-ka_3a_1} + \frac{u_3}{1-ka_1a_2} = 0$$
$$\beta_{57} : \frac{u_1}{1-k'a'_2a'_3} + \frac{u_2}{1-k'a'_3a'_1} + \frac{u_3}{1-k'a'_1a'_2} = 0$$
$$\beta_{56} : \frac{u_1}{1-k''a''_2a''_3} + \frac{u_2}{1-k''a''_3a''_1} + \frac{u_3}{1-k''a''_1a''_2} = 0$$

$$\beta_{45} : \frac{u_1}{a_1(1-ka_2a_3)} + \frac{u_2}{a_2(1-ka_3a_1)} + \frac{u_3}{a_3(1-ka_1a_2)} = 0$$
$$\beta_{46} : \frac{u_1}{a'_1(1-k'a'_2a'_3)} + \frac{u_2}{a'_2(1-k'a'_3a'_1)} + \frac{u_3}{a'_3(1-k'a'_1a'_2)} = 0$$
$$\beta_{47} : \frac{u_1}{a''_1(1-k''a''_2a''_3)} + \frac{u_2}{a''_2(1-k''a''_3a''_1)} + \frac{u_3}{a''_3(1-k''a''_1a''_2)} = 0$$

# Détermination des thêta constantes

**Théorème (Weber)** : Soit  $[\epsilon] = [i] + [j] + [k]$  **paire**. On note  $[\beta_{l_1}, \beta_{l_2}, \beta_{l_3}] = \det(\beta_{l_1}, \beta_{l_2}, \beta_{l_3})$  alors

$$\left( \frac{\vartheta[\epsilon](0)}{\vartheta[0](0)} \right)^4 = \frac{[\beta_i, \beta_j, \beta_{ij}][\beta_{ik}, \beta_{jk}, \beta_{ij}][\beta_j, \beta_{jk}, \beta_k][\beta_i, \beta_{ik}, \beta_k]}{[\beta_j, \beta_{jk}, \beta_{ij}][\beta_i, \beta_{ik}, \beta_{ij}][\beta_i, \beta_j, \beta_k][\beta_{ik}, \beta_{jk}, \beta_k]}$$

**Preuve** : Utilisation des fonctions racines de degré 3.

# Modèles et relèvements : cas hyperelliptiques

Courbes hyperelliptiques ordinaires sur  $\mathbb{F}_{2^N}$  :

$y^2 + yh(x) = u(x)$  où  $u, h$  sont de degré  $g + 1$  et  $h$  est scindé à racines simples.

$y \leftarrow y + v$  on peut se ramener à  $y^2 + yh = hu$ .

Relèvement :

$$Y^2 = (2y + h)^2 = h(h + 4u) = \prod (x - \alpha_i)(x - (\alpha_i + 4e_i)).$$

$\rightsquigarrow$  Détermination des thêta initiales : formules de Thomae.

Importance d'un bon modèle : les calculs se font dans un corps fixe.

# Quartiques ordinaires en caractéristique 2

**Proposition :**  $C$  est **ordinaire** si et seulement si elle a exactement **7 bitangentes**.

**Proposition :** Elles sont isomorphes à (\*)

$$(ax^2 + by^2 + cz^2 + dxy + exz + fyz)^2 = xyz(x + y + z)$$

avec la condition suivante

$$abc(a + b + d)(a + c + e)(b + c + f)(a + b + c + d + e + f + 1) \neq 0.$$

Inversement toutes les courbes qui vérifient ces conditions sont des courbes de genre 3 ordinaires, non hyperelliptiques.

# Transformation du modèle et relèvement

---

«Modèle d'Artin-Schreier».

$$\begin{cases} Y_1^2 = x_1 u_1 \\ Y_2^2 = x_2 u_2 \\ Y_3^2 = x_3 u_3 \\ Y_1 + Y_2 + Y_3 = 0 \end{cases}$$

Courbe de genre **5**, revêtement de degré 2 non ramifié de  $C$ .

# Transformation du modèle et relèvement

«Modèle d'Artin-Schreier».

$$\left\{ \begin{array}{l} Y_1^2 = x_1 u_1 \\ Y_2^2 = x_2 u_2 \\ Y_3^2 = x_3 u_3 \\ Y_1 + Y_2 + Y_3 = 0 \end{array} \right. \xrightarrow{k} \left\{ \begin{array}{l} Y_1^2 + l_1 Y_1 = l_1 v_1 \\ Y_2^2 + l_2 Y_2 = l_2 v_2 \\ Y_3^2 + l_3 Y_3 = l_3 v_3 \\ l_1 + l_2 + l_3 = 0 \\ Y_1 + Y_2 + Y_3 = l \end{array} \right.$$

Courbe de genre **5**, revêtement de degré 2 non ramifié de  $C$ .



# Transformation du modèle et relèvement

«Modèle d'Artin-Schreier».

$$\begin{cases} Y_1^2 = x_1 u_1 \\ Y_2^2 = x_2 u_2 \\ Y_3^2 = x_3 u_3 \\ Y_1 + Y_2 + Y_3 = 0 \end{cases} \xrightarrow{k} \begin{cases} Y_1^2 + l_1 Y_1 = l_1 v_1 \\ Y_2^2 + l_2 Y_2 = l_2 v_2 \\ Y_3^2 + l_3 Y_3 = l_3 v_3 \\ l_1 + l_2 + l_3 = 0 \\ Y_1 + Y_2 + Y_3 = l \end{cases} \xrightarrow{K} \begin{cases} (2Y_1 + l_1)^2 = l_1(4v_1 + l_1) \\ (2Y_2 + l_2)^2 = l_2(4v_2 + l_2) \\ (2Y_3 + l_3)^2 = l_3(4v_3 + l_3) \\ l_1 + l_2 + l_3 = -2l \\ (2Y_1 + l_1) + (2Y_2 + l_2) + \\ (2Y_3 + l_3) = 0 \end{cases}$$

Courbe de genre **5**, revêtement de degré 2 non ramifié de  $C$ .

# Modèle pour le relèvement

**Proposition :**  $C$  donnée par le modèle  $(*)$  est isomorphe sur  $k$  à la courbe quotient du modèle ci-dessus par le morphisme  $(Y_1 : Y_2 : Y_3 : x' : y' : z') \mapsto (x' : y' : z')$  avec

$$\begin{cases} l_1 = x', l_2 = y', l_3 = x' + y' \\ l = z' \\ v_1 = bcy' + (c + f)z' \\ v_2 = acx' + dcy' + (c + e)z' \\ v_3 = acx' + (d + b)cy' + (1 + c + e + f)z' \end{cases}$$

**Proposition :** Le modèle ainsi défini a **toutes** ses bitangentes sur  $K$ .

# Algorithme (du calcul de $\prod \pi_i$ )

*Entrée* :  $C$  sous la forme  $(*)$ .

*Sortie* :  $\pm \prod \pi_i \pmod{2^{10N}}$ .

1. Relève  $C$  sur  $K$  par les équations précédentes.
2. Calcul du système d'Aronhold (1 racine quatrième).
3. Expression de l'ensemble des bitangentes.
4. Calcul des huit  $(\vartheta_i^{(0)})^2 = (\vartheta[\epsilon](0)/\vartheta[0](0))^4$  qui sont des unités 2-adiques (précision 7).
5. Duplication (+1 de précision à chaque itération, 8 racines carrées).
6. Renvoie  $\alpha = \vartheta_0^{(11N)} / \vartheta_0^{(10N)} \pmod{2^{10N}}$ .

# Exemple

Soit  $\tilde{C}$  sur  $\mathbb{F}_{2^{100}}$  ( $\omega$  racine de  $(X^{101} - 1)/(X - 1)$ ) définie par

$$(\omega x^2 + (\omega^3 + 1)y^2 + \omega^4 xy + (\omega^3 + \omega^2)x + \omega^6 y + \omega^2)^2 - xy(x + y + 1) = 0.$$

Relèvement sur l'extension non ramifiée de degré 100 de  $\mathbb{Q}_2$  :

$$\begin{cases} v_1 = & (\omega^5 + \omega^2)y + (\omega^2 + \omega^6)z \\ v_2 = & \omega^3 x + \omega^6 y + (\omega^3 + 2\omega^2)z \\ v_3 = & \omega^3 + (\omega^6 + \omega^5 + \omega^2)y + (\omega^6 + \omega^3 + 2\omega + 1)z \end{cases}$$

# Exemple (suite)

Les 8 constantes initiales (de valuation 0) (temps < 1mn) :

$$\left\{ \begin{array}{l} 1 + O(p^4) \\ 1 + (w^{17} + w^{14} + w^{13} + w^9)p^3 + O(p^4) \\ 1 + (w^{19} + w^{18} + w^{17} + w^{14} + w^{12} + w^{11} + w^{10} + w^5 + w^4 + w)p^3 + O(p^4) \\ 1 + (w^{19} + w^{18} + w^{13} + w^{12} + w^{11} + w^{10} + w^9 + w^5 + w^4 + w)p^3 + O(p^4) \\ 1 + (w^{14} + w^{13} + w^{10} + w^9 + w^7 + w^6 + w^4 + w^2)p^3 + O(p^4) \\ 1 + (w^{17} + w^{10} + w^7 + w^6 + w^4 + w^2)p^3 + O(p^4) \\ 1 + (w^{19} + w^{18} + w^{17} + w^{13} + w^{12} + w^{11} + w^9 + w^7 + w^6 + w^5 + w^2 + w)p^3 + O(p^4) \\ 1 + (w^{19} + w^{18} + w^{14} + w^{12} + w^{11} + w^7 + w^6 + w^5 + w^2 + w)p^3 + O(p^4) \end{array} \right.$$

# Exemple (suite)

$$\alpha = \frac{\vartheta_1^{(1000)}}{\vartheta_1^{(1100)}} + O(2^{1000}) = \begin{cases} 1 + 2^5 + 2^9 + 2^{12} + 2^{13} + 2^{18} + 2^{20} + 2^{22} + 2^{24} \\ + 2^{25} + 2^{27} + 2^{29} + 2^{31} + 2^{32} + 2^{34} + 2^{38} + 2^{40} \\ + 2^{45} + 2^{47} + 2^{49} + 2^{51} + 2^{53} + 2^{55} + 2^{60} + 2^{61} \\ + 2^{62} + 2^{63} + 2^{65} + 2^{67} + 2^{68} + 2^{69} + 2^{71} + 2^{72} \\ + 2^{73} + \dots + 2^{991} + 2^{993} + 2^{995} + 2^{996} + \\ 2^{997} + 2^{999} + O(2^{1000}) \end{cases}$$

Temps de calcul : version peu optimisée (11mn); version Lercier-Lubicz (1mn).

# Fin de l'algorithme

Calcul du polynôme minimal de  $\beta = \alpha + 2^{3N}/\alpha$  (connu à la précision  $\delta \approx 10N$ ) : utilisation de **LLL**.

$\beta$  vérifie :  $X^4 + r_3X^3 + r_2qX^2 + r_1q^2X + q^3r_0$ .

Relation linéaire à coefficients dans  $\mathbb{Z}$  :

$(\beta_{-1}, \beta_4, \beta_3, \beta_2, \beta_1, \beta_0) = (2^\delta, \beta^4 \pmod{2^\delta}, \beta^3 \pmod{2^\delta}, q\beta^2 \pmod{2^\delta}, q^2\beta \pmod{2^\delta}, q^3 \pmod{2^\delta})$ .

Forme quadratique sur le réseau :

$$Q((s_{-1}, s_4, s_3, s_2, s_1, s_0)) = 2^{\lfloor \delta/2 + N \rfloor} s_4^2 + 2^{3N} s_3^2 + 2^{2N} s_2^2 + 2^N s_1^2 + s_0^2 + 2^\delta (s_{-1}\beta_{-1} + s_4\beta_4 + s_3\beta_3 + s_2\beta_2 + s_1\beta_1 + s_0\beta_0)^2.$$

# Fin de l'exemple

Polynôme minimal de  $\beta$  (temps < 2s) :

$$P_{\text{sym}} = X^4 - 26715365673094521954519391602467084378059297 \cdot X^3 \\ - 1982428428843079057759234710708713623379241158540353684707741 \cdot 2^{100} \cdot X^2 + \\ 248550842369414498721759586691744404695893277906335586587728273970726713469 \cdot X \\ + 175058029257348169113298037630983472240590555014 // \\ // 956076285407283685037701812736379942660161 \cdot 2^{300}$$

Polynôme caractéristique au signe près :

$$\chi_{\tilde{C}} = X^6 + 377276036264709 \cdot X^5 + 3455351061169045838894227937403 \cdot X^4 + \\ 929793021972276691307766666464616872277691871 \cdot X^3 \\ + 3455351061169045838894227937403 \cdot 2^{100} \cdot X^2 \\ + 377276036264709 \cdot 2^{200} \cdot X + 2^{300}$$

Détermination du signe :  $\chi_{\tilde{C}}(1) \cdot D \stackrel{?}{\sim} 0$  (temps 4s).